

Г.Ю. Григорьев<sup>1</sup>, С.Л. Малюгин<sup>1</sup>, Ш.Ш. Набиев<sup>1</sup>, А.И. Надеждинский<sup>2</sup>,  
Д.Б. Ставровский<sup>2</sup>, Я.Я. Понуровский<sup>2</sup>, А.Л. Устинов<sup>1</sup>

## Измерение изотопного состава воды с помощью диодной лазерной спектроскопии

<sup>1</sup> Институт молекулярной физики Российского научного центра «Курчатовский институт»,

<sup>2</sup> Центр естественно-научных исследований  
Института общей физики им. А.М. Прохорова РАН, г. Москва

Поступила в редакцию 10.06.2005 г.

Впервые предложен прототип прибора для быстрого экспресс-измерения изотопного состава воды ( $H_2^{16}O$ ,  $H_2^{17}O$ ,  $H_2^{18}O$ ,  $HD^{16}O$ ,  $D_2^{16}O$ ) с помощью диодной лазерной спектроскопии (ДЛС). Работа прибора основана на принципах ДЛС. Использовался диодный лазер (ДЛ) с распределенной обратной связью фирмы «Laser Components», излучающий на длине волны 1,39 мкм. Накачка ДЛ производилась импульсами трапециевидной формы с параметрами: длительность импульса 0,5–1 мс, частота повторения импульсов 1–2 кГц, диапазон перестройки в mode  $\sim 1,5 \text{ см}^{-1}$  (7183,2–7185 см $^{-1}$ ). Эти параметры позволяли одновременно определять концентрацию пяти изотопов воды.

Регистрация спектров поглощения изотопов воды и их последующая обработка производились в режиме реального времени с использованием платы ввода-вывода NI DAQ и драйверов графического пакета LabVIEW. Время единичного интервала измерения коэффициентов изотопического отношения 3–5 мин. Диапазон измеряемых концентраций изотопомеров воды составил 0,01–100%.

Получение изотопов кислорода методом вакуумной ректификации воды является весьма важным направлением промышленности по производству стабильных изотопов. Изотоп  $^{18}O$  (кислород-18) нашел широкое применение в медицине, прежде всего для диагностики методом позитронно-эмиссионной томографии (ПЭТ-сканеры), и в исследованиях различных процессов метаболизма в живых организмах – реакции окисления глюкозы, кинетика различных циклов взаимодействия, молочнокислая кинетика, метаболизм воды, витаминов, лекарственных препаратов. В первом случае используется вода с обогащением по кислороду-18 95% и выше, во втором с обогащением 10–15%.

Производство обогащенной кислородом-18 воды методом вакуумной ректификации осуществляется в многоступенчатых каскадах, в каждом из которых установлено определенное количество насадочных колонн. Общее число колонн может составлять несколько десятков в зависимости от требуемой суммарной производительности. В каскаде, установленном в Институте молекулярной физики РНЦ «Курчатовский институт», работает более 20 разделительных насадочных колонн при расчетной производительности 8 кг в год воды с обогащением по  $^{18}O$  95%. Для правильной работы каскада требуется регулярный изотопный анализ воды в каждой колонне, причем как в продукте, так и в отвале. Эти измерения определяют степень обогащения и степень исчерпывания – основные параметры работы разделительных колонн.

Таким образом, количество контрольных образцов весьма велико, и эта проблема становится весьма серьезной без надежного и оперативного способа измерения изотопного состава воды. Масс-спектрометрические измерения довольно дороги и продолжительны по времени, денситометрия – способ простой и оперативный, но не обеспечивающий достаточной точности. В связи с этим было принято решение разработать прибор и методику оперативного и точного измерения изотопного состава воды ( $H_2^{16}O$ ,  $H_2^{17}O$ ,  $H_2^{18}O$ ,  $HD^{16}O$ ,  $D_2^{16}O$ ) с помощью диодной лазерной спектроскопии с использованием диодных лазеров (ДЛ) ближнего ИК-диапазона.

В связи с тем что в отвале колонн первой ступени необходимо отслеживать исчерпывание по кислороду-18, т.е. измерять концентрации от 0,1 до 0,2%, в обогащенной воде необходимо следить за концентрацией  $^{18}O$  на уровне 1% и выше. Кроме того, необходимо следить за степенью обогащения по дейтерию, поэтому весьма важной задачей является правильный выбор спектрального диапазона.

Для нахождения спектрального диапазона, приемлемого для одновременного измерения с помощью ДЛ концентрации разных изотопомеров воды, был проведен предварительный анализ литературных данных по ИК-спектрам поглощения воды и ее изотопных модификаций [1–5]. С целью получения дополнительной информации был сделан спектральный анализ проб с известным содержанием изотопов на Фурье-спектрометре IFS-66 фирмы Bruker.

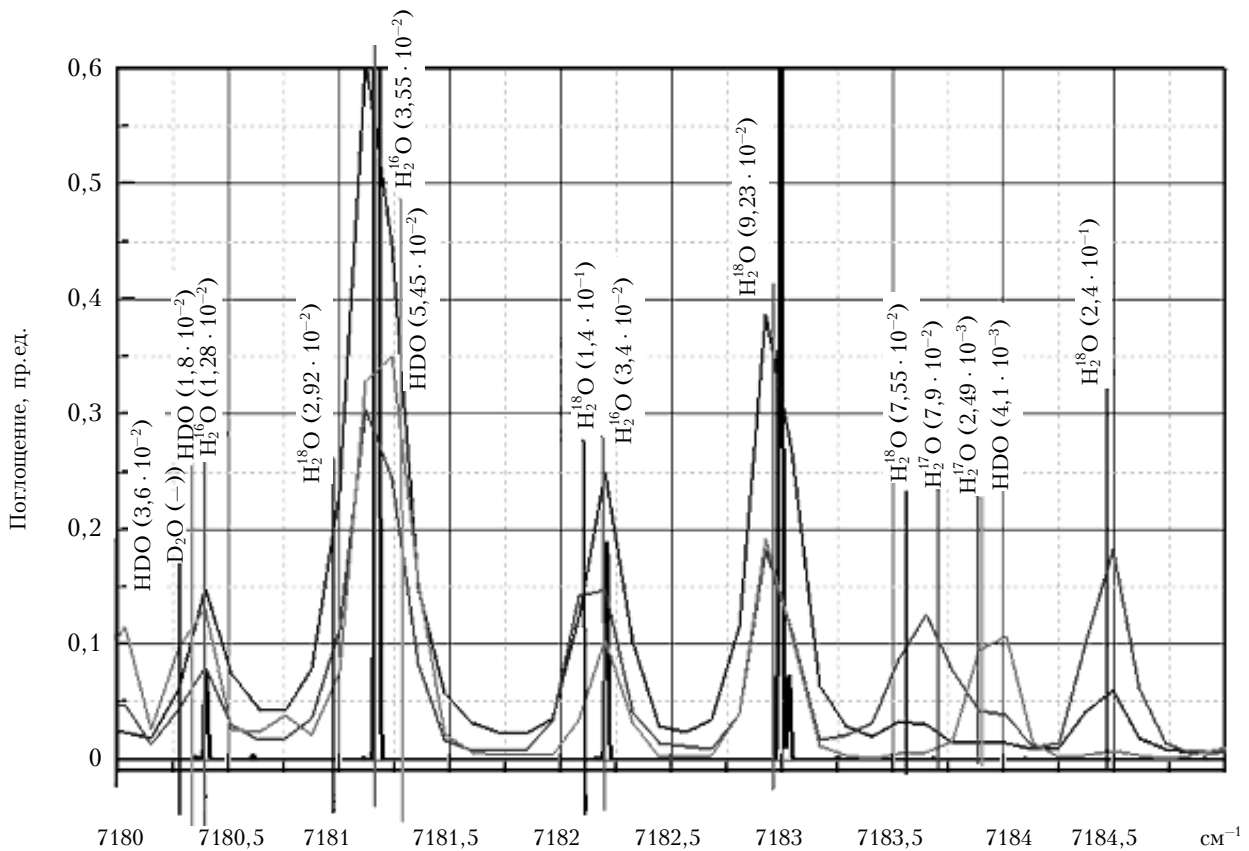


Рис. 1. Спектры поглощения  $\text{H}_2\text{O}$ , полученные на Фурье-спектрометре с разрешением  $0,02 \text{ см}^{-1}$

На рис. 1 представлены спектры поглощения паров воды с различным содержанием изотопов, записанные на Фурье-спектрометре с разрешением  $0,025 \text{ см}^{-1}$ .

Использовалась многоходовая оптическая кювета с эффективной длиной 4 м. Температура кюветы поддерживалась на уровне  $40^\circ\text{C}$ . Анализ спектра показал, что диапазон частот  $7182,5\text{--}7185 \text{ см}^{-1}$

является наиболее предпочтительным для одновременной регистрации следующих изотопомеров воды:  $\text{H}_2^{16}\text{O}$ ,  $\text{H}_2^{17}\text{O}$ ,  $\text{H}_2^{18}\text{O}$ ,  $\text{HD}^{16}\text{O}$ ,  $\text{D}_2^{16}\text{O}$ .

Общая схема установки для одновременного измерения с помощью ДЛ концентрации разных изотопомеров воды показана на рис. 2.

Использовался диодный лазер с распределенной обратной связью фирмы «Laser Components» (длина

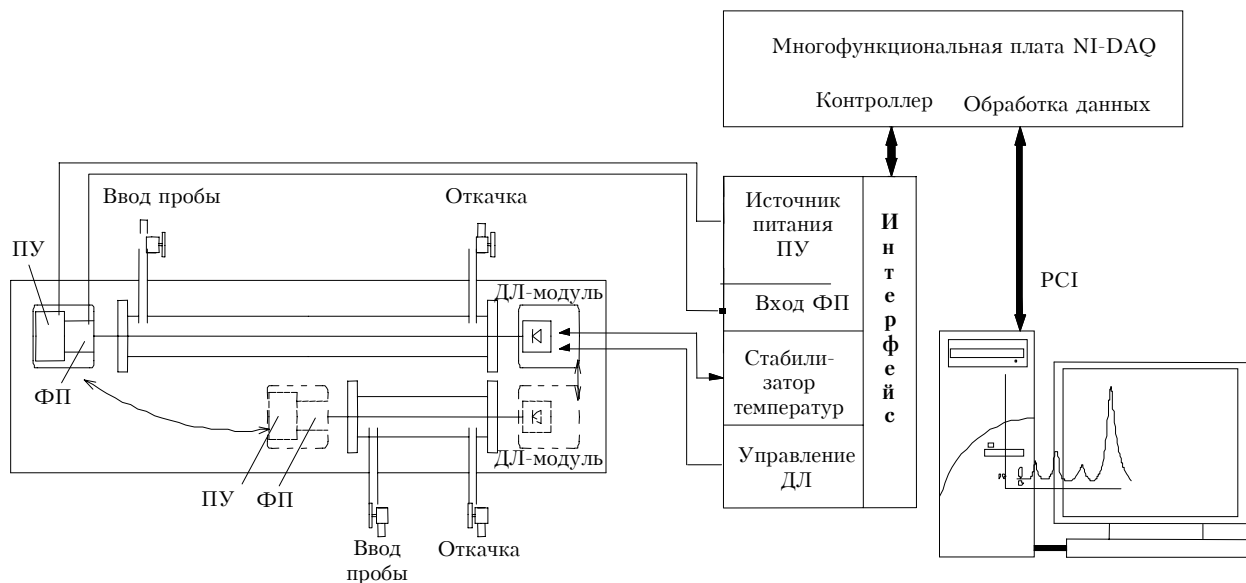


Рис. 2. Блок-схема детектора на основе ДЛ для измерения изотопного состава  $\text{H}_2\text{O}$

волны генерации ДЛ  $\lambda = 1,39$  мкм), снабженный встроенным терморезистором и термоэлементом Пельтье. Для расширения диапазона измеряемых концентраций изотопов воды в состав установки включены две оптические кюветы длиной 80 и 10 см. Корпуса кювет изготовлены из нержавеющей стали, окна — из плавленого кварца.

Пробы паров воды с различным изотопным составом при давлении от 3 до 10 торр напускались в зависимости от задачи («обогащение» или «исчерпывание») в короткую или длинную кюветы. Кювета длиной 80 см использовалась для измерения изотопного состава воды при относительно низком содержании изотопа  $^{18}\text{O}$  (от 0,05–0,5%), а более короткая кювета — для измерения изотопного состава с более высокой концентрацией  $^{18}\text{O}$  (0,5–99,9%). На рис. 3 представлены примеры спектров поглощения паров воды для разных режимов измерения изотопного состава, записанные с помощью ДЛ.

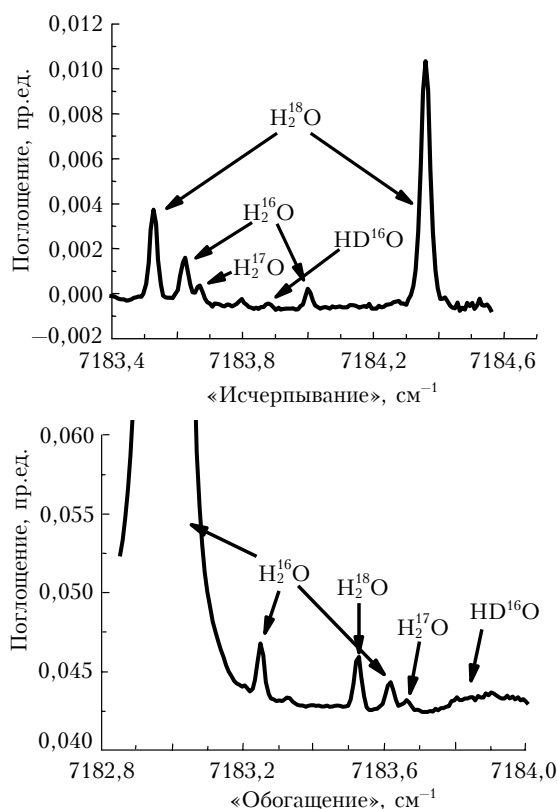


Рис. 3. Спектры поглощения изотопов воды для разных режимов измерения изотопного состава, записанные с помощью ДЛ

## Методика определения концентрации $^{18}\text{O}$ при режиме «исчерпывание»

При измерении концентрации  $^{18}\text{O}$  в режиме исчерпывания использовались следующие параметры ДЛ: длительность трапециевидного импульса тока накачки  $\tau \sim 200$  мкс, частота следования импульсов  $\sim 5$  кГц. Величина тока накачки  $I \sim 50$  мА. В моде излучения ДЛ регистрировалась только одна линия

$^{18}\text{O}$ , на частоте  $v = 7184,456$  см<sup>-1</sup>. Температура кристалла ДЛ при этом поддерживалась на уровне  $(20,2 \pm 0,0005)$  °C.

Система термостабилизации, реализованная программно с использованием пропорционально-интегрального регулятора, позволяла осуществить быстрый выход на требуемую температуру и ее долговременное удержание с точностью  $5 \cdot 10^{-4}$  град.

Программа управления позволяет изменять оператору параметры величины тока накачки.

Для достижения максимальной чувствительности использовался модуляционный режим генерации ДЛ. Он осуществлялся с частотой оцифровки платы NI DAQ 200 кГц и представлял собой разбиение массива точек импульса накачки на две составляющие (четную и нечетную). При этом глубина модуляции импульса выбиралась таким образом, чтобы обеспечить частотный сдвиг в моде ДЛ, равный полуширине линии поглощения  $\text{H}_2^{18}\text{O}$  ( $W \sim 0,007$  см<sup>-1</sup>). Далее производится вычисление натурального логарифма отношения четной и нечетной составляющих сигнала. Результатом этой процедуры является следующая разность коэффициентов поглощения:

$$K(v, W)P_{^{18}\text{O}}L = [K(v - v_0 + W) - K(v - v_0)]P_{^{18}\text{O}}L, \quad (1)$$

где  $L$  — длина оптического пути в поглощающем слое — аналитической кювете (80 см);  $P_{^{18}\text{O}}$  — давление паров  $\text{H}_2^{18}\text{O}$  в исследуемой пробе воды;  $K(v - v_0)$  — коэффициент экстинкции (см<sup>-1</sup>/атм), который описывается выражением

$$K(v - v_0) = S_{v_0}\phi(v - v_0), \quad (2)$$

где  $v_0$  — частота центра линии поглощения;  $S_{v_0}$  — интенсивность линии поглощения, см<sup>-2</sup> · атм<sup>-1</sup>;  $\phi(v - v_0)$  — функция, описывающая профиль линии, см.

Для достижения максимальной воспроизведимости измерений концентрации  $^{18}\text{O}$  давление паров воды в кювете поддерживалось на уровне 9,2 торр с точностью 0,05 торр. При таком давлении можно использовать в качестве  $\phi(v - v_0)$  функцию Гаусса:

$$y = \frac{2S_{v_0}}{W} \sqrt{\pi} \exp\left(-\frac{(v - v_0)^2}{W^2}\right), \quad (3)$$

где  $W$  — доплеровская полуширина линии;  $v$  — текущая частота.

Для уменьшения влияния на результат измерения фликкерных компонентов шума на следующем этапе обработки сигнала дополнительно производились численное дифференцирование и фильтрация. Фильтрация осуществлялась программным путем с использованием полосового фильтра Баттерворда с параметрами: порядок фильтра — 2, частота — 200 кГц, полоса — 35 кГц. При этих параметрах фильтрации не происходит искажения контура спектральной линии поглощения.

Для перевода сигнала из временной шкалы в частотную использовалась линейная функция преобразования, тангенс угла наклона которой оптимизируется

с применением процедуры подгонки контура спектральной линии гауссовой функцией.

Вторая производная коэффициента поглощения  $^{18}\text{O}$ , полученная в результате обработки сигнала, подгоняется суммой: вторая производная гауссовой функции и линейная функция:

$$y = \frac{2S_{v_0}}{W} \sqrt{\pi} \left( -1 + \frac{(v - v_0)^2}{W^2} \right) \times \exp\left(-\frac{(v - v_0)^2}{W^2}\right) + K + Rv, \quad (4)$$

где параметрами подгонки являются:  $S$  – интегральное сечение поглощения;  $R$  – коэффициент наклона;  $K$  – смещение линии.

Для нормировки величины  $S$  на естественное содержание изотопа  $^{18}\text{O}$  (0,199983%) использовалась дистиллированная вода, имеющая естественный изотопный состав (образец сравнения).

Применяемый алгоритм измерения  $^{18}\text{O}$  позволяет получать величину концентрации  $\text{H}_2^{18}\text{O}$  в широком диапазоне (от 0,12 до 3,0%) со случайной погрешностью не более 5%.

Для проверки правильности измерения концентрации  $\text{H}_2^{18}\text{O}$  в Институте молекулярной физики РНЦ «Курчатовский институт» было изготовлено несколько образцов воды с различной концентрацией  $\text{H}_2^{18}\text{O}$ . Относительная концентрация  $^{18}\text{O}$  была предварительно измерена там же на масс-спектрометре.

Результаты, полученные с помощью ДЛ-спектрометра и масс-спектрометрии, отличались не более чем на 0,5%.

## Методика измерения изотопного состава воды с помощью ДЛ для режима «обогащение»

В режиме «обогащение» производилась регистрация участка спектра, в котором представлены линии следующих изотопомеров:  $\text{H}_2^{17}\text{O}$ ,  $\text{H}_2^{18}\text{O}$ ,  $\text{HD}^{16}\text{O}$ ,  $\text{H}_2^{16}\text{O}$ . По этому спектру сначала вычислялись относительные концентрации изотопомеров  $\text{H}_2^{17}\text{O}$ ,  $\text{H}_2^{18}\text{O}$ ,  $\text{HD}^{16}\text{O}$  (обозначим их через  $\alpha$ ,  $\beta$ ,  $\gamma$ ). Если абсолютные концентрации изотопомеров  $\text{H}_2^{17}\text{O}$ ,  $\text{H}_2^{18}\text{O}$ ,  $\text{HD}^{16}\text{O}$ ,  $\text{H}_2^{16}\text{O}$  обозначить через  $A$ ,  $B$ ,  $C$ ,  $D$ , то

$$\alpha = \frac{A}{D}; \quad \beta = \frac{B}{D}; \quad \gamma = \frac{C}{D}.$$

Если теперь через  $X$ ,  $Y$ ,  $Z$  обозначить относительные концентрации изотопов  $\text{D}$ ,  $^{17}\text{O}$  и  $^{18}\text{O}$ , то относительные концентрации всех возможных изотопомеров воды можно записать в виде матрицы:

	$\text{H}_2$	$\text{HD}$	$\text{D}_2$
$^{16}\text{O}$	$(1 - X)^2(1 - Y - Z)$	$2X(1 - X) \times$ $\times (1 - Y - Z)$	$X^2(1 - Y - Z)$
$^{17}\text{O}$	$Y(1 - X)^2$	$2XY(1 - X)$	$YX^2$
$^{18}\text{O}$	$Z(1 - X)^2$	$2XZ(1 - X)$	$ZX^2$

Видно, что  $\alpha$ ,  $\beta$ ,  $\gamma$  и  $X$ ,  $Y$ ,  $Z$  связаны следующим образом:

$$\alpha = \frac{A}{D} = \frac{(1 - X)^2 Y}{(1 - X)^2(1 - Y - Z)} = \frac{Y}{1 - Y - Z};$$

$$\beta = \frac{B}{D} = \frac{Z}{1 - Y - Z};$$

$$\gamma = \frac{C}{D} = \frac{2X}{1 - X}.$$

Решая данную систему уравнений относительно  $X$ ,  $Y$ ,  $Z$ , получаем

$$X = \frac{2 + \gamma}{\gamma}; \quad Y = \frac{\alpha}{1 + \alpha + \beta}; \quad Z = \frac{\beta}{1 + \alpha + \beta}.$$

После нахождения  $X$ ,  $Y$ ,  $Z$  можно вычислить относительные концентрации всех изотопомеров воды. Полученные соотношения использовались при вычислении концентрации изотопомеров в режиме «обогащение».

Регистрация спектров поглощения изотопов воды и их последующая обработка производились с использованием платы ввода-вывода NI DAQ и драйверов графического пакета LabVIEW. Время единичного интервала измерения относительных концентраций изотопомеров ~0,2 с. При 100-кратном накоплении и усреднении относительная случайная ошибка при измерении концентрации  $\text{H}_2^{18}\text{O}$  не превышает 0,3% [6–9].

В настоящий момент прибор работает в режиме регулярных измерений проб с разделительных колонн. Запуск прибора значительно облегчил задачу контроля технологического режима комплекса «Вода».

1. Toth R. Extensive measurements of  $\text{H}_2^{16}\text{O}$  line frequencies and strengths: 5750 to 7965  $\text{cm}^{-1}$  // Appl. Opt. 1994. V. 33. N 21. P. 4851–4867.
2. Toth R. Transition frequencies and strengths of  $\text{H}_2^{17}\text{O}$ : 6600 to 7640  $\text{cm}^{-1}$  // Appl. Opt. 1994. V. 33. N 21. P. 4868–4879.
3. Toth R. Line positions and strengths of HDO between 6000 and 7000  $\text{cm}^{-1}$  // J. Mol. Spectrosc. 1997. V. 186. P. 66–89.
4. Kerstel E.R., Gagliardi G. at al. Determination of the  $^{2}\text{H}/^{1}\text{H}$ ,  $^{17}\text{O}/^{16}\text{O}$  and  $^{18}\text{O}/^{16}\text{O}$  isotope ratios in water by means of tunable laser spectroscopy at 1,39  $\mu\text{m}$  // Spectrochim. acta. A. 2002. V. 58. P. 2389.
5. Moretti L., Sasso A. at al. Collisional-Broadened and Dicke-Narrowed lineshapes of  $\text{H}_2^{16}\text{O}$  and  $\text{H}_2^{18}\text{O}$  transitions at 1,39  $\mu\text{m}$  // J. Mol. Spectrosc. 2001. V. 205. P. 20–27.
6. Надеждинский А.И., Понуровский Я.Я., Ставровский Д.Б., Григорьев Г.Ю., Набиев Ш.Ш. Измерение изотопического состава  $\text{CO}_2$  и  $\text{H}_2\text{O}$  с использованием диодных лазеров ближнего ИК-диапазона // Тезисы докл. Всерос. конф. по аналитической химии «Аналитика России». М., 2004. С. 116.
7. Надеждинский А.И., Понуровский Я.Я., Ставровский Д.Б., Наместников Д.Ю., Вязов И.Е., Шаповалов Ю.П., Куманская Т.П., Григорьев Г.Ю., Набиев Ш.Ш., Малюгин С.Л. Измеритель изотопного состава воды на основе диодных лазеров ближнего ИК-

- диапазона // Сб. докл. 2-го Общерос. семинара по диодной лазерной спектроскопии. М., 2004. С. 16–20.
8. Надеждинский А.И., Понуровский Я.Я., Ставровский Д.Б., Григорьев Г.Ю., Набиев Ш.Ш. Экспресс-измерение изотопного состава воды с использованием диодных лазеров ближнего ИК-диапазона // Тезисы докл. Всерос. конф. по аналитической химии «Аналитика России». М., 2004. С. 124.
9. Григорьев Г.Ю., Набиев Ш.Ш., Надеждинский А.И., Понуровский Я.Я., Ставровский Д.Б., Устинов А.Л. Измеритель изотопного состава воды на основе диодных лазеров ближнего ИК-диапазона // Тезисы докл. IX Всерос. (Международной) конф. «Физико-химические процессы при селекции атомов и молекул». Звенигород, 2004. С. 65.

*G.Yu. Grigoriev, S.L. Malyugin, Sh.Sh. Nabiev, A.I. Nadezhdiniskii, D.B. Stavrovskii, Ya.Ya. Ponurovskii, A.L. Ustinov. Water isotopic composition measurements by diode laser spectroscopy.*

This report for the first time suggests a prototype of the device intended for rapid analysis of water isotopic composition ( $\text{H}_2^{16}\text{O}$ ,  $\text{H}_2^{17}\text{O}$ ,  $\text{H}_2^{18}\text{O}$ ,  $\text{HD}^{16}\text{O}$ ,  $\text{D}_2^{16}\text{O}$ ) with the use of near-infrared diode lasers (DL). The device operation is based on the DLS principles. We employed a DL laser with the distributed feedback with the lasing wavelength of  $1.39\text{ }\mu\text{m}$  manufactured by Laser Components GmbH. The frequency tuned ( $\sim 1.5\text{ cm}^{-1}$ ) DL lasing is effected with trapezoidal pulses of  $0.5\text{--}1\text{ ms}$  duration and  $1\text{--}2\text{ kHz}$  repetition rate. The lasing frequency domain ( $7183.2\text{--}7185\text{ cm}^{-1}$ ) has been chosen to ensure simultaneous detection of 5 water isotopomers.

Absorption spectra of water isotopomers are collected and then processed using a National Instruments data acquisition board and LabVIEW software. The time of a single measurement of isotopic ratio factor is less than  $3\text{--}5\text{ min}$ . The range of  $\text{H}_2^{18}\text{O}$  measured concentration is  $0.01\text{--}100\%$ .